

RAPPRESENTAZIONE GRAFICA DELLE FUNZIONI DI TRASFERIMENTO

1° CAPITOLO (27)

Diagrammi di Bode

2° CAPITOLO (41)

Diagrammi polari

1) DIACRITICA DI BODE

Si consideri un sistema lineare stazionario e tempo continuo, con un legame ingresso/uscita descritto dalla funzione di trasferimento $W(s)$, descritta dalla A.2.12.

Se quello che abbiamo visto, la funzione di trasferimento di un sistema lineare stazionario è dimensione finita è un rapporto di polinomi nella variabile complessa s e l'ipotesi di comunità garantisce che il grado del denominatore non sia minore di quello del numeratore; in presenza di un legame diretto ingresso/uscita ($D \neq 0$), $W(s)$ è un rapporto strettamente proprio di polinomi.

Poche in FORMA OSWONICKI la funzione di trasferimento equivale a sommarsi, in modo univoco, come rapporto delle potenze dei seguenti fattori:

1) TERMINI MONOMI: s .

Corrispondono a zeri/poli nell'origine;

2) TERMINI BINOMI: $1 + \tau s$, $\tau \in \mathbb{R}$.

Corrispondono a zeri/poli reali; $\omega_T = \frac{1}{|\tau|}$ è detta pulsazione di TAGLIO del termine binomio;

3) TERMINI TRINOMI: $1 + \frac{2\zeta s}{\omega_m} + \frac{s^2}{\omega_m^2}$, $|\zeta| < 1$, $\omega_m > 0$.

Corrispondono a coppie di zeri/poli complessi coniugati, ζ e ω_m sono rispettivamente lo SMORTAMENTO e la PULSAZIONE DI RISONANZA del termine trinomio.

4) GUSSANO DI BODE: K .

È la costante moltiplicativa risultante dalla scomposizione nei fattori canonici sopre descritti della funzione di trasferimento;

- in ASSSENZA DI TERMINI MONOMI costituisce il guadagno alle basse frequenze, e in calcolo come:

$$K = \lim_{s \rightarrow 0} W(s)$$

(1.1)

- Se c'è la POTENZA di un termine monomio al denominatore (ma s^p , p>0), n'ha un'ampificazione infinita alle basse frequenze, il guadagno di Bode si calcola

$$K = \lim_{s \rightarrow 0} W(s) s^p \quad (1.2)$$

- Se la POTENZA di un termine monomio è presente al numeratore, alle basse frequenze le riportate del sistema è nulla (-∞ in dB), e il guadagno di Bode vale:

$$K = \lim_{s \rightarrow 0} \frac{W(s)}{s^p} \quad (1.3)$$

I diagrammi di Bode sono le rappresentazioni in scala semilogaritmica del modulo (espresso linearmente in decibel) e delle fasi delle funzioni di trasferimento calcolato in $s = j\omega$, al variare della pulsazione $\omega \in (0, +\infty)$ (espressa in scala logaritmica).

In virtù delle proprietà dei logaritmi e delle fasi, entrambi i diagrammi di Bode sono rappresentati come somme algebriche dei contributi dei singoli diagrammi dei fattori comuni sopre descritti: i contributi dei termini al denominatore si sommano, quelli dei termini al denominatore si sottraggono ad eventuali potenze di ordine 2, 3 o 8, raddoppiano, triplicano o moltiplicano per un fattore e i contributi dei termini.

Di seguito sono riportate l'analisi e le rappresentazioni dei diagrammi di Bode delle ampiezze e delle fasi dei singoli fattori comuni.

Sulle ordinate di entrambi sono riportate le pulsazioni in scala logaritmica,

le ordinate dei diagrammi di Bode delle ampiezze sono espresse in decibel (ricordando che $1M1_{dB} = 20 \log(1M1)$), le ordinate dei diagrammi di Bode delle fasi in radianti.

Si fa riferimento al termine decade per indicare il generico intervallo di ampiezza unitaria in scala logaritmica, ovvero l'intervallo $[\omega_1, \omega_2]$ costituisce una decade se $\omega_2 = 10\omega_1$.

1) IL TERMINE monomio: s.

$$|s\omega|_{dB} = 20 \log |s\omega| = 20 \log \omega$$

$$\angle(s\omega) = \frac{\pi}{2}$$

(1.4)

Il diagramma di Bode delle ampiezze è una retta con pendenza 20 dB/dec , da togliere i 0 dB in corrispondenza delle pulsazioni di 1 rad/sec.

La fase è, invece, costante al variare di $\log \omega$ e vale $\frac{\pi}{2}$ radanti.

2, 1, 1

2) TERMINE BINOMIO: $1 + \tau s$, $\tau \in \mathbb{R}$

$$|1 + j\tau\omega|_{dB} = 20 \log \sqrt{1 + \tau^2\omega^2}$$

$$\angle(1 + j\tau\omega) = \operatorname{arctg}(\tau\omega)$$

(1.5)

I diagrammi di Bode dei termini binomi e trinomi non formano un andamento lineare rispetto a $\log \omega$.

Per le loro rappresentazioni è consigliabile sviluppare l'analisi del loro comportamento asintotico, in base al quale è possibile approssimare i diagrammi con opportune spartite lineari e tratti.

(2)

Questi diagrammi, noti come **diagrammi asintotici**, sono lo strumento per disegnare a mano una linea approssimante i veri diagrammi di Bode.

I punti di non dorsochilia sono detti **punti di rotura** del diagramma asintotico.

- Dall'andamento **alle basse frequenze**, per pulsazioni inferiori a quelle di taglio ($\omega \ll \omega_t$):

$$1 + \tau^2 \omega^2 \approx 1 \Rightarrow |1 + j\omega \tau|_{dB} \approx 20 \log 1 = 0 \text{ dB} \quad (1.6)$$

il diagramma dei moduli si approssima con una retta costante a più a 0 dB

- **alle alte frequenze**, per pulsazioni superiori a quelle di taglio ($\omega \gg \omega_t$):

$$1 + \tau^2 \omega^2 \approx \tau^2 \omega^2 \Rightarrow |1 + j\omega \tau|_{dB} \approx 20 \log |\tau \omega| = 20(\log \omega - \log \tau) \quad (1.7)$$

il diagramma dei moduli si approssima con una retta di pendere $\omega \text{ dB/dec}$, da togliere i 0 dB in corrispondenza della pulsazione di taglio ω_t .

Raccordando queste due rette nel loro punto d'intersezione si disegna il diagramma asintotico.

Il minimo scostamento del diagramma di Bode dal diagramma asintotico si ottiene per la pulsazione di taglio ω_t , ed è pari a:

$$20 \log \sqrt{1 + \tau^2 \omega_t^2} = 20 \log \sqrt{2} \approx 3,0,1 \text{ dB} \quad (1.8)$$

2. 1 2

Anche per le fasi si considera l'andamento orintotico del diagramma.

+ ~~caso zero~~

- Alle basse frequenze ($\omega \ll \omega_t$), il termine lineare può confrontarsi con la sua parte reale, per cui la fase assume un andamento costante e pari a zero.
- Alle alte frequenze ($\omega \gg \omega_t$), il termine lineare può confrontarsi con la sua parte immaginaria, per cui la fase assume un andamento costante e pari a $\frac{\pi}{2}$ radienti.

In questo caso non c'è interazione tra i due andamenti orintotici.

Per ottenere un diagramma lineare e tratti da approssimazioni modellizzanti il diagramma delle fasi, si sfruttano le caratteristiche di simmetria del grafico: il diagramma di BODE DELLE FASI in scese semilogaritmica gode di simmetria centrale rispetto al punto $(\omega_t, \frac{\pi}{4})$.

Una possibilità consiste nel ricordare i due andamenti orintotici con un segmento di pendente $\frac{\pi}{4}$ rad/dec che passa per il centro di simmetria del diagramma. Tale segmento approssima il diagramma nell'intervallo di due decadi centrato sulla pulsazione di taglio.

7.1.3

Il minimo scostamento delle fasi dal diagramma orintotico si ha nei punti di rottura delle iperbole ($0, \omega_t$ e ω_{∞}) e vale

$$\left\{ \begin{array}{l} \text{arctg}(x \cdot 0,1\omega_t) = \text{arctg}(0,1) \approx 0,1 \text{ rad} \\ \frac{\pi}{4} - \text{arctg}(x \cdot 10\omega_t) = \frac{\pi}{2} - \text{arctg}(10) \approx 0,1 \text{ rad} \end{array} \right. \quad (1.3)$$

ovvero meno di 6 gradi (i due valori non sono uguali, dato la simmetria delle curve).

Un diagramma orintato co' alternativo comincia nel recordatore i due ordinamenti orintatici con la retta tangente la curva (ω_c , che tangente nella pulsazione di taglio si ricava ricordando che le scale delle ordinate è logaritmica, come si dà in figura rispetto a $\varepsilon = \log \omega$.

$$\frac{d}{d\varepsilon} [\operatorname{ortg}(\varepsilon\omega)] \Big|_{\omega=\omega_c} = \left(\frac{d}{d\varepsilon} [\operatorname{ortg}(\varepsilon\omega) \cdot \frac{d\omega}{d\varepsilon}] \right) \Big|_{\omega=\omega_c} =$$

$$= \frac{\varepsilon}{1+\varepsilon^2\omega^2} \cdot \omega^2 \ln(\omega) \Big|_{\omega=\omega_c} = \frac{\ln(\omega)}{2} \simeq 1,15 \text{ rad/sec} \quad (1.10)$$

Sfruttando la simmetria, poste $\frac{\omega_c}{\alpha}$ e ω_c le intersezioni della tangente con gli ordinamenti orintati a 0 e $\pi/2$ misurati rispettivamente, si ottiene che i punti di rotture dello spartito, che approssima il diagramma di Bode utilizzando la tangente nella pulsazione di taglio, soddisfano la seguente equazione:

$$\frac{\pi/2}{\log(\alpha\omega_c) - \log\left(\frac{\omega_c}{\alpha}\right)} = \frac{\ln(\omega_c)}{2} \quad (1.11)$$

da cui

$$\pi = \ln(\omega_c) / 2 \log \alpha \quad \Rightarrow \quad \alpha = 10^{\frac{\pi}{2 \ln(\omega_c)}} \simeq 4,81 \quad (1.12)$$

Fig. 1.7

In questo modo migliora l'approssimazione nell'intorno della pulsazione di taglio, ma peggiora quella nei punti di rotture del diagramma orintatico, in corrispondenza dei quali l'errore vale

$$\operatorname{ortg}\left(\varepsilon \frac{\omega_c}{\alpha}\right) = \operatorname{ortg}(\alpha^{-1}) \simeq 0,20 \text{ rad} \quad (1.13)$$

circa il doppio rispetto all'errore nei punti di rotture del diagramma orintatico precedentemente descritto, fig. 1.6.

+ caso

il diagramma dei moduli non coincide, mentre quelli delle fasi
è simmetrico rispetto all'asse delle pulsazioni.

Coincide infatti, il regno della parte immaginaria, per cui coincide il regno delle fasi, fig 1.6

3) TERMINE TRINOMIO: $1 + \frac{2\zeta\omega}{\omega_n} + \frac{\zeta^2\omega^2}{\omega_n^2}, |\zeta| \leq 1, \omega_n > 0$

$$\left| 1 + \frac{2j\zeta\omega}{\omega_n} - \frac{\omega^2}{\omega_n^2} \right|_{dB} = 20 \log \sqrt{\left(1 - \frac{\omega^2}{\omega_n^2}\right)^2 + \frac{4\zeta^2\omega^2}{\omega_n^2}}$$

1.14a

$$\angle \left(1 + \frac{2j\zeta\omega}{\omega_n} - \frac{\omega^2}{\omega_n^2} \right) = \operatorname{arctg} \left(\frac{\frac{2\zeta\omega}{\omega_n}}{1 - \frac{\omega^2}{\omega_n^2}} \right)$$

1.14b

Ande per il termine trinomio è necessaria l'ordine sintetico.

- Alle basse frequenze, cioè per pulsazioni inferiori a quelle di risonanza ($\omega \ll \omega_n$):

$$1 + \frac{2j\zeta\omega}{\omega_n} - \frac{\omega^2}{\omega_n^2} \approx 1 \Rightarrow \left| 1 + \frac{2j\zeta\omega}{\omega_n} - \frac{\omega^2}{\omega_n^2} \right|_{dB} = 20 \log 1 = 0 \text{ dB} \quad 1.15$$

il diagramma dei moduli si approssima con una retta costante e pari a 0 dB.

- Alle alte frequenze, per pulsazioni superiori a quelle di risonanza ($\omega \gg \omega_n$):

$$1 + \frac{2j\zeta\omega}{\omega_n} - \frac{\omega^2}{\omega_n^2} \approx -\frac{\omega^2}{\omega_n^2} \Rightarrow \left| 1 + \frac{2j\zeta\omega}{\omega_n} - \frac{\omega^2}{\omega_n^2} \right|_{dB} \approx 20 \log \left(\frac{\omega}{\omega_n} \right)^2 = 40(\log \omega - \log \omega_n)$$

1.16

Il diagramma dei moduli si approssima con una retta di pendente 40 dB/sec, che taglia i 0 dB nelle pulsazioni di risonanza ω_n .

Ricordando queste due rette nel loro punto d'intersezione, si ottiene il diagramma omotetico.

Lo scostamento, espresso in decibeli, per $w=w_m$ è pari a:

$$20 \log \sqrt{\left(1 - \frac{w_m^2}{w^2}\right)^2 + \frac{4\beta^2 w_m^2}{w^2}} = 20 \log 12.8$$

da cui si evince che:

- Quando il termine trinomio si scomponga nel prodotto di un binomio ($|S|=1$), tale scostamento vale $20 \log 2 \approx 6.02$ dB, fig ①.6

①.6

- Per valori di β maggiori in modulo di $\frac{1}{2}$ ($\frac{1}{2} \leq |S| \leq 1$), lo scostamento è positivo e si annulla per $|S| = \frac{1}{2}$. Si noti che l'annullamento nel punto di rottura non determina l'uguaglianza tra i due diagrammi, pur rendendo il diagramma omotetico molto prossimo a quello di Bode, fig ①.7

①.7

- Per valori di β inferiori in modulo a $\frac{1}{2}$ ($0 \leq |S| \leq \frac{1}{2}$), il diagramma di Bode presenta un picco di risonanza in corrispondenza di w_m , di cui il diagramma omotetico non tiene conto (per avere precisi si parla di antiresonanza se il termine trinomio è il numeratore, in quanto, in quel caso, c'è un'alternazione delle ampiezze per le frequenze di risonanza); tale picco è sempre più accentuato al decrescere di $|S|$ e, di conseguenza, il diagramma

36

orientato e sempre meno adatto ad approssimare il diagramma di Bode nell'intorno di ω_n al decrescere di $1\omega_1$, fig 1.8.

1.8

- Per $\frac{1}{s+2\omega}$, in corrispondenza della pulsazione di risonanza c'è un orientato verticale, di cui il diagramma orbitico non tiene conto e, dunque, non è più idoneo a descrivere l'andamento dell'ampiezza nell'intorno di ω_n .

Se il termine trinomio è il numeratore (come si è suppose in questo contesto) l'orientato produce ottemersione infinita, ovie il sistema ha una singola molla se eccitato con un'armonica di pulsazione ω_n , fig 1.9a

1.9a

Al contrario, se il termine trinomio è il denominatore, l'orientato produce un'ottemersione infinita se eccitato con armonica di pulsazione ω_n , fig 1.9b

1.9b

Per quel che riguarda l'analisi sintetica del diagramma delle forze, ne sono:

- Alle basse frequenze ($\omega \ll \omega_n$) il trinomio si approssima con le sue parti reali, per cui la forza ha un andamento costante e pari a zero.
 - Alle alte frequenze ($\omega \gg \omega_n$) il trinomio si confonde con $-\frac{\omega^2}{\omega_n^2} < 0$, per cui la forza ha un andamento costante a π radianti (si ovunque il segno è perché, per ω che passa da 0 a $+\infty$, il trinomio è un vettore del piano complesso di ruota in senso antiorario).
- Analogamente al termine binomio non c'è interazione tra i due orientati e i diagrammi orientatici si ottengono sfruttando le proprietà di simmetria del grafico: il diagramma di Bode delle forze in scala semi-logaritmica gode di simmetria centrale rispetto al punto $(\omega_n, \pi/2)$.

Di seguito riportiamo tre tecniche per raccordare gli andamenti dinamici:

- 1) Consiste nel raccordare i due orientati con un segmento di pendenza $\pi/2$ radice dei punti per il centro di simmetria del diagramma.
Tale segmento approssima il diagramma nell'intervallo di due decadi centrati nella pulsazione di risonanza. Questa approssimazione è buona per valori dello scorrimento ponendo in modulo all'unità ($|S| \approx 1$): è tanto più efficace quanto più il termine trinomio si approssime con il quadrato di un binomio.
- 2) Consiste nel raccordare i due orientati con il segmento tangente le curve in ω_n .

Per calcolare le pendenze, si deriva rispetto a $\omega = \log \omega$:

$$\left. \frac{d}{d\omega} \left[\operatorname{ord} \left(\frac{\omega}{\omega_n} \right) \right] \right|_{\omega=\omega_n} = \left. \frac{\frac{1}{\omega_n} \left(1 - \frac{\omega^2}{\omega_n^2} \right) + \frac{2\omega}{\omega_n^2} \cdot \frac{2\omega}{\omega_n}}{\left(1 + \left(\frac{\omega}{\omega_n} \right)^2 \right) \left(1 + \frac{\omega^2}{\omega_n^2} \right)^2} \cdot 10^2 \ln(10) \right|_{\omega=\omega_n} =$$

$$= \frac{\frac{2\epsilon}{\omega_n} \left(1 - \frac{\omega^2}{\omega_n^2}\right) + \frac{4\zeta^2 \omega^2}{\omega_n^3}}{\left(1 - \frac{\omega^2}{\omega_n^2}\right)^2 + \frac{4\zeta^2 \omega^2}{\omega_n^3}} \cdot 10^2 \ln(\omega) \Big|_{\omega=\omega_m} = \frac{\ln(10)}{\xi} \approx \frac{2,30}{\xi} \text{ rad/dec} \quad (1.18)$$

Sfruttando la simmetria, posto $\frac{\omega_m}{\alpha}$ e $\alpha \omega_m$ le intersezioni della tangente con gli assi orizzontali e O e π radienti rispettivamente si ottiene che i punti di rottura soddisfano la seguente equazione:

$$\frac{\pi}{\log(\alpha \omega_m) - \log\left(\frac{\omega_m}{\alpha}\right)} = \frac{\ln(10)}{\xi}, \quad (1.19)$$

da cui

$$\xi \pi = \ln(10) \cdot 2 \log \alpha \Rightarrow \alpha = 10^{\frac{\xi \pi}{2 \ln(10)}} \approx (4,81)^{\xi} \quad (1.20)$$

Questa approssimazione è efficace soprattutto nell'intorno della pulsazione di risonanza, e presenta il minimo dello scostamento nei punti di rottura.

3) Un'altra alternativa è:

Si suppone che il termine trinomia ne effettivamente il quadrato di un binomio, cioè $|g|=1$.

Allora, utilizzando il diagramma esistetico definito su una doppia decade, il minimo dello scostamento si ha nei punti di rottura $0,1\omega_m$ e $10\omega_m$ e vale

$$\angle \left(1 + \frac{2j \cdot 0,1\omega_m}{\omega_m} - \frac{0,01\omega_m^2}{\omega_m^2} \right) = \angle \left(\frac{99}{100} + j \frac{2}{10} \right) = \operatorname{arctg} \left(\frac{22}{99} \right) \approx 0,20 \text{ rad} \quad (1.21)$$

ovvero 12 gradi circa.

Si desidera, adesso, impostare il valore delle pulsazioni nei punti di rottura, simmetriche rispetto a ω_m , in modo tale che l'errore in tali punti sia sempre dato dalla (1.21), posto $\angle \frac{\omega_m}{\alpha}$, all'interno del cerchio:

$$\angle \left(1 + \frac{2j \cdot 8\omega}{\omega_m} - \frac{\omega^2}{\omega_m^2} \right) \Big|_{\omega=\frac{\omega_m}{\alpha}} = \operatorname{arctg} \left(\frac{20}{99} \right) \Rightarrow \angle \left(1 - \frac{1}{\alpha^2} + j \frac{25}{\alpha} \right) = \operatorname{arctg} \left(\frac{20}{99} \right)$$

$$\Rightarrow \frac{\alpha}{1 - \frac{1}{\alpha^2}} = \frac{20}{99} \Rightarrow \frac{25\alpha}{\alpha^2 - 1} = \frac{20}{99} \approx \frac{1}{5} \Rightarrow \alpha^2 - 10\alpha - 1 = 0 \Rightarrow$$

$$\Rightarrow \alpha = 5\beta + \sqrt{25\beta^2 + 1}$$

(1.22)

La pendenza di un tale diagramma orintotico è pari a:

$$\frac{n}{\log(\alpha w_n) - \log\left(\frac{w_n}{\alpha}\right)} = \frac{n}{2\log\alpha} = \frac{n}{2\log(\alpha(\beta))}$$

(1.23)

In figura (1.10) è considerato il caso limite $\beta = 1$:

il termine trinomio è il quadrato di un binomio - Il diagramma orintotico de accordo gli orientati orizzontali nei due decadi coincide con quelli che accordo gli orientati orizzontali in un intervallo promesso all'indice $\alpha = 10$ dato dalla (1.22).

La pendenza di un tale diagramma orintotico nell'intorno di w_n è, circa $\frac{\pi}{2}$ rad/sec $\approx 1,57$ rad/sec. La tangente in w_n vale $\ln(\alpha) \approx 2,30$ con il porometro $\alpha \approx 4,81$ definito dalla (1.20), numericamente uguale al valore (fino e non indicato) del porometro da determinare l'intervallo di accordo per il diagramma orintotico tangente alla pulsazione di taglio di un binomio (1.12).

+ In figura (1.11) si riportano i grafici relativi allo smorzamento $\beta = 0,5$. Il diagramma orintotico tangente nella pulsazione di risonanza ha una pendenza di circa $4,61$ rad/sec, equazione (1.18), e i punti di rottura sono individuati dal porometro $\alpha \approx 2,19$, equazione (1.20), utilizzando il tipo di diagramma orintotico, si ottiene una pendenza di circa $2,10$ rad/sec, equazione (1.23), e i punti di rottura sono individuati dal porometro $\alpha \approx 5,19$, equazione (1.22).

- + In figura 1.12 in rapporto lo smorzamento $\beta = 0,1$.
Il diagramma orintotico tangente nella pulsazione di risonanza ha una pendenza di circa $23,03 \text{ rad/sec}$, equazione 1.18 e i punti di rottura sono individuati dal parametro $\alpha \approx 1,17$, equazione 1.20; utilizzando il terzo tipo di diagramma orintotico si ottiene una pendenza di circa $7,52 \text{ rad/sec}$, equazione 1.23, i punti di rottura sono individuati dal parametro $\alpha \approx 1,62$, equazione 1.22.
- + Per valori di $\beta \approx 0$, la parte immaginaria del termine trinomio diventa trascurabile rispetto alla sua parte reale, coincide le fasi omune i valori di 0 e π radianti e ricorda che la parte reale sia maggiore o minore di zero: al variare delle pulsazioni ω , il diagramma delle fasi omune l'andamento è gradino, come in figura 1.13.
- In questo caso non sono più affermati gli approssimativi per rappresentare il diagramma di Bode.
- I criteri enunciati per le approssimazioni con le rette tangenti in ω_n e con l'intervalle parametrici scelti dall'indice α definito in 1.27 sono comunque consistenti: in entrambi i casi l'intervalle coincidono in un unico punto ($\alpha=1$) e la pendenza è nulla infinito.

+ Dovendo $\Im < 0$ il diagramma dei moduli del termine trinomio non coincide, mentre quello delle fasi è simmetrico all'origine delle pulsazioni, in quanto non coincide il regno delle fasi immaginarie. In figura ①.14 si riporta l'esempio di $\xi = -0,1$.

4) GUADAGNO DI BODE : K

Produce nelle ampiezze un'ampificazione uniforme al vertice della pulsazione ω . Se si riflette sul diagramma dei moduli con una traslazione del grafico di una quantità pari a $20 \log |K|$, figura ①.15, per questo motivo la retta $e|K|_{dB}$ è utilizzata come riferimento per le ordinate nei diagrammi di Bode delle ampiezze. Si noti che tale riferimento coincide con la retta coordinata delle ascisse per un'ampificazione unitaria: $K=1$.

1.15

- Per quel che riguarda le fasi, il guadagno di Bode non dà alcun contributo se K è positivo: $\angle K = 0$,
- nel caso in cui K è negativo, sforsa uniformemente il diagramme di n radici: $\angle K = \pi$.
- In questo caso, sono i monomi e il regno del guadagno di Bode a determinare il riferimento per le ordinate nei diagrammi di Bode delle fasi.

Tale riferimento coincide con la retta coordinata delle ascisse in onore di monomi e con un guadagno di Bode positivo, ovvero con una qualunque combinazione dei termini di cui sopra, che produce un incremento uniforme pari a un multiplo di $2n$ radienti.

2) Diagrammi polari

Il diagramma polare per un sistema lineare stazionario a tempo continuo è la rappresentazione parametrica nel piano complesso della funzione di trasferimento $W(s)$, calcolata in $s = j\omega$, al variore delle pulsazioni $\omega \in [-\infty, +\infty]$.

Tale diagramma è orientato nel verso crescente delle pulsazioni. In particolare, la funzione di trasferimento può essere interpretata come quella funzione complessa col argomento complesso che trasforma la curva $s = j\omega$, one immaginaria del piano di Gauss, nelle curve $W(j\omega)$.

Riguardo alle proprietà di una generica trasformazione di variabile complessa, si riporta la seguente proposizione.

PROPOSIZIONE: Una trasformazione di variabile complessa applicata ad una curva del piano di Gauss che non contiene (eventuali) singolarità della trasformazione è una curva chiusa.

Utilizzando queste proprietà è possibile fare le seguenti considerazioni:

- la funzione di trasferimento è un rapporto privo di poli, per cui i suoi punti di singolarità sono costituiti dai POLE;
- il diagramma polare è una curva chiusa del piano complesso se l'one immaginario non pone per i poli della funzione di trasferimento, ma se l'insieme dei poli di $W(s)$ non contiene numeri complessi puramente immaginari;
- il diagramma polare è una curva chiusa se il denominatore non presenta termini monomi o termini non smorti ($S=0$)

Per diregnore i termini polari, è comigliabile usare il seguente appuccio:

- 1) Si utilizzano i diagrammi di Bode per tracciare la curva relativa alle pulsazioni positive: $\omega \in (0, +\infty)$
- 2) fatta la funzione di trasferimento è a coefficienti reali, si ha che $W(-j\omega) = W(j\omega)^*$: per diregnore il diagramme polare in corrispondenza delle pulsazioni negative, si simmetrizza rispetto all'asse reale la curva tracciata per pulsazioni positive.

- 3) A meno di particolarità specifiche, non è necessario disegnare il diagramma polare facendo particolare attenzione alla metrica adottata: ciò che conta nel disegno è indicare gli avvistamenti degli sri coordinate e i giri che il diagramma fa attorno ad alcuni punti del piano complesso.
- È conforme di quanto precedentemente scritto, e per meglio evidenziare le interazioni delle curve polari con gli sri coordinate, nelle figure relative agli esercizi sui diagrammi polari, non si tiene conto delle effettive metriche.

Nel caso di peli pionante immaginari, il diagramma polare, così come è stato definito, non è chiaro.

Per poter avere un diagramma chiaro è necessario, dunque, modificare il percorso dell'one immaginario.

Si sceglie come percorso alternativo il **PERCORSO UNCINATO**, che lascia le singolarità a sinistra (in figura 2.1 si suppone la presenza di 3 peli pionante immaginari, di cui uno nell'origine)

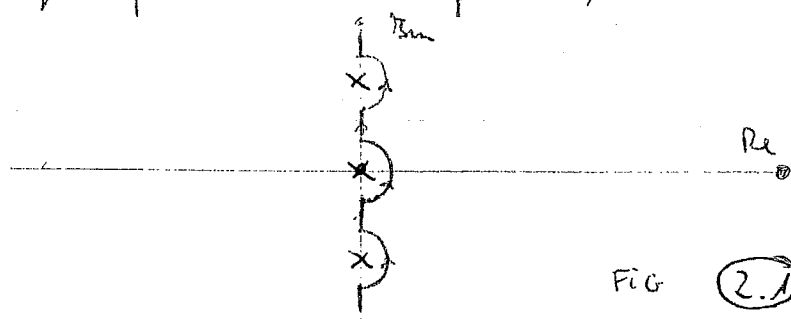


FIG 2.1

Tale percorso, in prossimità delle singolarità, si scorge da quelli dell'one immaginario su ordi di curve di raggio infinitesimo, considerando che l'avvistamento del diagramma avviene su ordi di curve di raggio grande e piccile.

Si pote, in questo caso di CHIUSURA ALL'INFINITO: ma deve essere percorso in modo che si lasci le singolarità (l'infinito nel diagramma polare) a sinistra, per un simile percorso sempre in senso orario.